

## Dispense integrative per lo studio della dinamica del corpo rigido

### 1. Il corpo rigido e le sue proprietà

Tra i sistemi di punti fisici una classe particolare di sistemi è quella dei "corpi rigidi", che hanno alcune caratteristiche peculiari. Il concetto di corpo rigido è intuitivo e si collega spesso a un "oggetto compatto, che si comporta come un punto materiale". Definiremo nel seguito il corpo rigido per poi dedurne rigorosamente le proprietà dalla definizione.

#### Definizione

Un **corpo rigido** è un sistema di punti fisici la cui caratteristica principale è che considerati due punti generici  $i$  e  $j$  appartenenti al corpo e aventi masse  $m_i$  and  $m_j$ , la distanza  $d_{i,j}$  dei due punti si mantiene costante nel tempo:

$$d_{i,j} \equiv |\vec{R}_i - \vec{R}_j| = \text{costante} \quad [\forall i, j] \quad (1.1)$$

dove la distanza è stata scritta in funzione dei vettori posizione. Nel seguito useremo le coordinate cilindriche per rappresentare lo spostamento di tali vettori. Dimostriamo ora alcune proprietà fondamentali di un corpo rigido e del suo moto.

#### Proprietà n. 1:

se 2 punti con posizione  $\vec{R}_i, \vec{R}_j$  di un corpo rigido sono in quiete durante il moto del corpo, tutti i punti del corpo rigido appartenenti alla linea retta, che unisce  $i$  e  $j$ , sono in quiete.

**Dimostrazione:** consideriamo un punto  $l$  del corpo rigido appartenente alla linea retta che unisce  $i$  e  $j$ . Se assumiamo l'asse  $z$  lungo questa linea retta, la posizione dei punti si scrive come:  $\vec{R}_i = z_i \vec{k}, \vec{R}_j = z_j \vec{k}, \vec{R}_l = z_l \vec{k}$ , e la relazione (1.1) applicata ai punti  $i$  e  $l$  si scrive come:

$$d_{i,l}^2 = (z_i - z_l)^2 \quad (1.2)$$

derivando rispetto al tempo entrambe i membri della (1.2) si ottiene:

$$0 = 2 \cdot (z_i - z_l) \cdot \dot{z}_l \Rightarrow \dot{z}_l = 0 \quad (\text{essendo } z_i \text{ costante}) \quad (1.3)$$

La linea retta tra  $i$  e  $j$  è chiamata "asse fisso del corpo rigido". A parte casi particolari, nel seguito sceglieremo questo asse coincidente con l'asse  $z$  del sistema di riferimento (cilindrico).

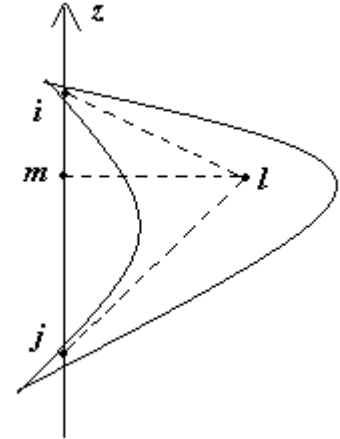
**Proprietà n. 2:**

se un corpo rigido ha un asse fisso  $z$ , durante il moto del corpo rigido tutti i punti hanno distanza costante dall'asse  $z$ .

**Dimostrazione:**

Sia  $l$  un punto che non appartiene all'asse  $z$  e i punti  $i$  e  $j$  siano lungo l'asse fisso  $z$ . I punti  $i$ ,  $l$  e  $j$  definiscono un triangolo con lunghezza fissa dei lati: quindi questo triangolo rimane uguale a se stesso in tutte le posizioni durante il moto del corpo rigido. Anche l'altezza  $lm$ , mantiene dunque la stessa lunghezza: questa altezza è la coordinata  $r_l$  di  $l$  rispetto all'asse e pertanto:

$$\dot{r}_l = 0 \quad (1.4)$$

**Proprietà n. 3:**

Se un corpo rigido ha un asse fisso  $z$ , tutti i punti del corpo hanno una coordinata  $z$  costante.

**Dimostrazione:** consideriamo un punto  $l$  che non appartiene all'asse  $z$  che passa attraverso i punti  $j$  e  $i$ .

Il quadrato della distanza  $d_{l,i}^2 = (\vec{R}_l - \vec{R}_i)^2 = (r_l \cdot \vec{\lambda} + (z_l - z_i) \cdot \vec{k})^2$  è costante per la prima proprietà e quindi la sua derivata è nulla:

$$0 = \frac{d(\vec{R}_l - \vec{R}_i)^2}{dt} = \frac{d(r_l + (z_l - z_i))^2}{dt} = 2r_l \cdot \dot{r}_l + 2(z_l - z_i)(\dot{z}_l - \dot{z}_i) = 2(z_l - z_i) \cdot \dot{z}_l \Rightarrow \dot{z}_l = 0 \quad (1.5)$$

Nella (1.5) abbiamo utilizzato le relazioni (1.4) e (1.3) applicate al punto  $i$ .

**Proprietà n. 4:**

i punti di un corpo rigido, che si muove con un asse fisso, descrivono archi di circonferenze disposte in piani perpendicolari all'asse  $z$ .

**Dimostrazione:** dalla proprietà 3, si deduce che un punto del corpo rigido si muove nel piano  $z = \text{costante}$ , che è perpendicolare all'asse  $z$ . Inoltre, anche dalla proprietà 2, la distanza dall'asse di rotazione è costante; pertanto, il punto descrive un arco di circonferenza.

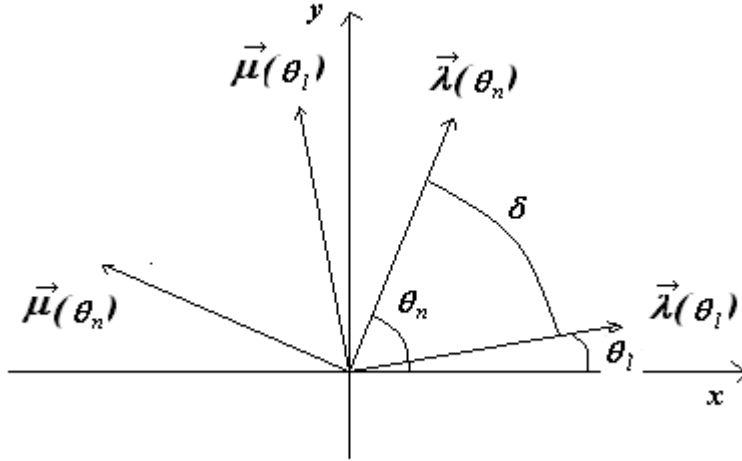
**Proprietà n. 5:**

le velocità angolari di tutti i punti di un corpo rigido, che ruota attorno ad un asse fisso, sono uguali.

**Dimostrazione:** questa proprietà deriva direttamente dalle proprietà euclidee degli angoli e dal fatto che le distanze tra i punti devono rimanere costanti. La velocità del punto  $i$  può essere scritta come:  $\vec{v}_i = r_i \cdot \omega \cdot \vec{\mu}(\vartheta_i)$

Prendiamo in considerazione due punti  $l$  e  $n$  e la loro distanza al quadrato  $d_{l,n}^2$  in coordinate cilindriche:

$$d_{l,n}^2 = (r_l \cdot \vec{\lambda}(\vartheta_l) - r_n \cdot \vec{\lambda}(\vartheta_n))^2 + (z_l - z_n)^2 \quad (1.6)$$



Considerando i versori  $\vec{\mu}(\vartheta_l), \vec{\mu}(\vartheta_n)$  perpendicolari a  $\vec{\lambda}(\vartheta_l), \vec{\lambda}(\vartheta_n)$ , rispettivamente la derivata della (1.6) rispetto al tempo si scrive come:

$$\begin{aligned} 0 &= 2 \cdot (r_l \cdot \vec{\lambda}(\vartheta_l) - r_n \cdot \vec{\lambda}(\vartheta_n)) \cdot (r_l \cdot \dot{\vartheta}_l \cdot \vec{\mu}(\vartheta_l) - r_n \cdot \dot{\vartheta}_n \cdot \vec{\mu}(\vartheta_n)) + 2(z_l - z_n) \cdot (\dot{z}_l - \dot{z}_n) = \\ &= 2 \cdot (r_l \cdot \vec{\lambda}(\vartheta_l) - r_n \cdot \vec{\lambda}(\vartheta_n)) \cdot (r_l \cdot \dot{\vartheta}_l \cdot \vec{\mu}(\vartheta_l) - r_n \cdot \dot{\vartheta}_n \cdot \vec{\mu}(\vartheta_n)) = \\ &= -2 \cdot (r_l r_n \cdot \dot{\vartheta}_n \cdot \vec{\lambda}(\vartheta_l) \cdot \vec{\mu}(\vartheta_n) + r_n r_l \cdot \dot{\vartheta}_l \cdot \vec{\lambda}(\vartheta_n) \cdot \vec{\mu}(\vartheta_l)) \end{aligned} \quad (1.7)$$

Come descritto nella figura riportata sopra possiamo definire un angolo  $\delta \equiv \vartheta_n - \vartheta_l$ , tale che:

- angolo tra  $\vec{\lambda}(\vartheta_l)$  e  $\vec{\mu}(\vartheta_n) = \delta + \pi/2$
- angolo tra  $\vec{\lambda}(\vartheta_n)$  e  $\vec{\mu}(\vartheta_l) = -\delta + \pi/2$

i seni dei due angoli descritti sopra sono uguali e di segno opposto. Quindi:

$$\vec{\lambda}(\vartheta_l) \cdot \vec{\mu}(\vartheta_n) = -\vec{\lambda}(\vartheta_n) \cdot \vec{\mu}(\vartheta_l) \equiv -\sin(\delta) \quad (1.8)$$

L'eq. (1.8) insieme all'eq. (1.7) ci da:

$$0 = -2 \cdot r_l r_n \cdot (\dot{\vartheta}_n - \dot{\vartheta}_l) \cdot \sin \delta \Rightarrow \dot{\vartheta}_n = \dot{\vartheta}_l \equiv \omega \quad (1.9)$$

Possiamo quindi concludere che il vettore posizione e la velocità di ogni punto  $I$  di un corpo rigido si possono scrivere come:

$$\vec{R}_I = r_I \cdot \vec{\lambda}(\vartheta_I) + z_I \vec{k}; \quad \vec{v}_I = r_I \cdot \omega \cdot \vec{\mu}(\vartheta_I) \quad (1.10)$$

### Conclusioni sulle proprietà di un corpo rigido

- a) In un corpo rigido tutte le distanze tra i punti sono costanti.
- b) Durante il moto di un corpo rigido, se due punti del corpo sono in quiete, tutti i punti appartenenti alla linea retta che li unisce (detto asse di rotazione), sono in quiete.
- c) Tutti i punti del corpo rigido descrivono circonferenze planari, con la stessa velocità angolare  $\omega$ .

Quindi il moto di ogni punto di un corpo rigido è completamente conosciuto se è noto l'angolo che definisce la sua posizione nel tempo o la velocità angolare o l'accelerazione angolare.

## 2. Momento di inerzia

Nello studio del moto di un corpo rigido risulta particolarmente utile definire una nuova quantità, detta “*momento di inerzia  $I_z$  rispetto ad un asse  $z$* ” di un sistema di  $N$  punti che hanno masse  $m_i$  come:

$$I_z = \sum_{i=1}^N m_i r_i^2 \quad (2.1)$$

Dove  $r_i$  è la distanza tra il punto  $i$  e l'asse  $z$ . Il momento di inerzia di un corpo rigido rispetto ad un asse è una proprietà statica del corpo e dell'asse, indipendente dal moto.

### Proprietà additiva dei momenti di inerzia

Dalla definizione (2.1) è chiaro che se i punti  $N$  sono considerati come appartenenti a 2 sottosistemi, il primo insieme contenente i punti che vanno da 1 a  $M$  e il secondo da  $M + 1$  a  $N$ , i corrispondenti momenti di inerzia  $I_z^M$  e  $I_z^N$  rispetto allo stesso asse soddisfano:

$$I_z = I_z^M + I_z^N \quad (2.2)$$

## 3. Moto di un corpo rigido attorno a un asse fisso

Il moto di un corpo rigido obbedisce alle equazioni cardinali dei sistemi di punti. Come osservato, la velocità angolare è l'unica variabile necessaria per descrivere il moto attorno a un asse fisso. Di seguito troveremo i rapporti tra la velocità angolare, il momento angolare, il momento delle forze per il corpo rigido con asse fisso e il metodo con cui l'equazione cardinale si utilizza per ottenere l'equazione del moto.

### 3.1 Momento angolare

Scriviamo il momento angolare di un corpo rigido che ruota attorno a un asse fisso  $z$  e con polo  $O$  nella posizione  $\vec{R}_O = r_O \cdot \vec{\lambda}_O + z_O \vec{k}$ :

$$\begin{aligned}\vec{L}^0 &= \sum_{i=1}^N (\vec{R}_i - \vec{R}_O) \times m_i \vec{v}_i = \sum_{i=1}^N (r_i \cdot \vec{\lambda}(\vartheta_i) - r_O \cdot \vec{\lambda}_O + (z_i - z_O) \vec{k}) \times m_i r_i \cdot \omega \cdot \vec{\mu}(\vartheta_i) = \\ &= \omega \cdot \sum_{i=1}^N m_i \cdot \left\{ r_i^2 \cdot \vec{k} - r_O \cdot \vec{\lambda}_O \times r_i \cdot \vec{\mu}(\vartheta_i) - (z_i - z_O) r_i \cdot \vec{\lambda}(\vartheta_i) \right\} = \\ &= \omega \cdot I_z \cdot \vec{k} - \omega r_O \cdot \vec{\lambda}_O \times \sum_{i=1}^N m_i \cdot r_i \cdot \vec{\mu}(\vartheta_i) - \omega \sum_{i=1}^N m_i \cdot \left\{ (z_i - z_O) r_i \cdot \vec{\lambda}(\vartheta_i) \right\}\end{aligned}\quad (3.1)$$

#### Caso speciale: polo lungo l'asse $z$

Nell'eq. (3.1) il prodotto vettoriale  $\vec{\lambda}_O \times \vec{\mu}(\vartheta_i)$  si trova sull'asse  $z$ : **se il polo è stato scelto sull'asse  $z$** , la distanza  $r_O$  diventa nulla e il momento angolare si scrive semplicemente come:

$$\vec{L}^0 = \omega \cdot I_z \cdot \vec{k} - \sum_{i=1}^N m_i \cdot \left\{ (z_i - z_O) r_i \cdot \vec{\lambda}(\vartheta_i) \right\} \omega \quad (3.2)$$

Possiamo dunque osservare, dall'eq. (3.1) che il momento angolare, rispetto ad un polo scelto lungo l'asse fisso di rotazione, ha 2 componenti,  $L_z$  lungo  $z$  ed  $L_T$  nel piano perpendicolare a  $z$ :

$$\begin{aligned}\vec{L}^0 &= L_z \cdot \vec{k} + \vec{L}_T \\ L_z &= \omega \cdot I_z \\ \vec{L}_T &= - \sum_{i=1}^N m_i \cdot \left\{ (z_i - z_O) r_i \cdot \vec{\lambda}(\vartheta_i) \right\} \omega\end{aligned}\quad (3.3)$$

La componente lungo  $z$  ha una forma molto semplice in termini di momento di inerzia e velocità angolare.

#### Nota

La componente trasversa  $L_T$  del momento angolare **in generale non si annulla** anche se la rotazione avviene attorno all'asse  $z$ ; questa componente scompare quando il corpo ha una simmetria geometrica attorno all'asse  $z$ . Tipicamente, questo si verifica nel caso di solidi omogenei, la cui forma è generata da una figura geometrica planare che ruota attorno all'asse  $z$ .

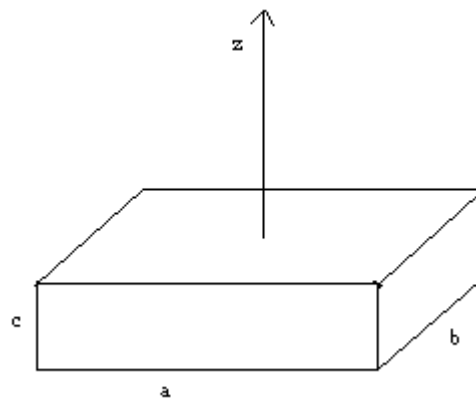
### 3.2 Momento di inerzia di alcuni corpi rigidi omogenei

- 1) Momento di inerzia  $I_z$  di un parallelepipedo omogeneo di massa  $M$  e lati  $a$ ,  $b$ ,  $c$  rispetto ad un asse parallelo al lato  $c$  e passante attraverso il centro (CM)

Essendo il corpo rigido un corpo continuo il momento di inerzia si scrive come un integrale:

$$I_z \equiv \int_V dm \cdot (x^2 + y^2) = \int_V \rho \cdot dx dy dz \cdot (x^2 + y^2)$$

Dove l'asse x è parallelo al lato  $a$  e l'asse y al lato  $b$ . Per calcolare l'integrale riportato sopra, dobbiamo tener presente che è la somma di masse infinitesime  $dm$  moltiplicate per la loro distanza al quadrato dall'asse z. Grazie alla proprietà commutativa, possiamo scegliere l'ordine con cui aggiungere ogni termine: come primo passo scegliamo di aggiungere ogni massa situata in una striscia lungo l'asse x ad un valore generico (costante) y, quindi aggiungere tutte le strisce che si trovano in un piano a un valore generico (costante) z, per aggiungere infine tutti i piani lungo z.



$$I_z \equiv \int_V \rho \cdot dV \cdot (x^2 + y^2) = \rho \int_{-\frac{c}{2}}^{\frac{c}{2}} dz \int_{-\frac{b}{2}}^{\frac{b}{2}} dy \int_{-\frac{a}{2}}^{\frac{a}{2}} dx \cdot (x^2 + y^2) = \rho \int_{-\frac{c}{2}}^{\frac{c}{2}} dz \int_{-\frac{b}{2}}^{\frac{b}{2}} dy \left[ \frac{a^3}{3 \cdot 4} + y^2 a \right] =$$

$$\rho \int_{-\frac{c}{2}}^{\frac{c}{2}} dz \left[ \frac{a^3 b}{3 \cdot 4} + \frac{b^3 a}{3 \cdot 4} \right] = \rho \cdot \left[ \frac{a^3 b}{3 \cdot 4} + \frac{b^3 a}{3 \cdot 4} \right] \cdot c = \frac{\rho \cdot abc}{12} (a^2 + b^2) = \frac{M}{12} (a^2 + b^2)$$

- 2) Momento di inerzia  $I_z$  di una sfera omogenea di massa  $M$  e raggio  $R$  rispetto ad un asse passante per il centro (CM)

$$I_z = \frac{2}{5} MR^2$$

- 3) Momento di inerzia  $I_z$  di un cilindro pieno e omogeneo di massa  $M$  e raggio  $R$  rispetto al suo asse (contenente il CM)

$$I_z = \frac{1}{2} MR^2$$

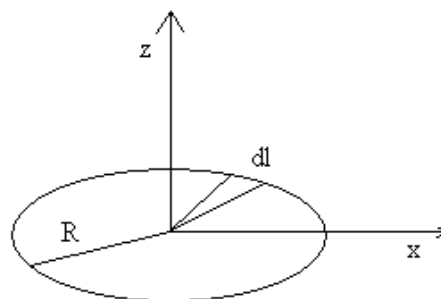
- 4) Momento di inerzia  $I_z$  di un cilindro vuoto e omogeneo di massa  $M$  e raggio interno ed esterno  $r$  e  $R$  rispettivamente, rispetto al suo asse (contenente il CM)

$$I_z = \frac{1}{2} M(r^2 + R^2)$$

- 5) Momento di inerzia  $I_z$  di un anello omogeneo, molto sottile, di massa  $M$  e raggio  $R$ , rispetto al suo asse (contenente il CM)

$$I_z = MR^2$$

Dimostrazione:



La massa di ogni arco infinitesimo  $dl$  dell'anello è uguale alla densità

$\rho = \frac{M}{2\pi R}$  moltiplicata per la lunghezza  $dl$  e la distanza dall'asse  $z$  è sempre  $R$ .

Quindi, utilizzando le coordinate cilindriche per l'integrale (sistema continuo), si ha:

$$I_z \equiv \int_{\vartheta=0}^{\vartheta=2\pi} R^2 \rho \cdot dl = \int_0^{2\pi} R^2 \cdot \rho \cdot R \cdot d\vartheta = \rho \cdot R^3 \cdot 2\pi = MR^2$$

### 3.2 Componenti dei momenti di forze in rotazioni attorno un asse fisso

Se un corpo rigido ruota intorno ad un asse fisso, è molto conveniente scegliere il polo  $O$  nell'origine.

In questo modo si possono sfruttare le seguenti condizioni:

A) il polo è in quiete e il momento angolare ha la forma dell'eq. (3.3)

B) il vettore posizione  $\vec{R}_O$  del polo è nullo

Prendiamo in considerazione tutti i momenti delle forze esterne (rispetto a  $O$ ) che agiscono sul corpo e concentriamo la nostra attenzione sulla componente  $z$  del momento  $\tau_{E,z}^O$ : la II equazione cardinale lungo  $z$  si scrive come (cfr. Eq. 3.3):

$$\tau_{E,z}^O = \frac{dL_z}{dt} = I_z \cdot \dot{\omega} \quad (3.4)$$

Il vettore posizione  $\vec{R}_i$  del punto  $i$  e la forza esterna  $\vec{F}_E^i$ , che agisce su di esso, si scrivono in coordinate cilindriche nel seguente modo:

$$\vec{R}_i = r_i \cdot \vec{\lambda}(\vartheta_i) + z_i \cdot \vec{k}; \quad \vec{F}_E^i = F_{E,\lambda}^i \cdot \vec{\lambda} + F_{E,\mu}^i \cdot \vec{\mu} + F_{E,z}^i \cdot \vec{k} \quad (3.5)$$

Tenendo in considerazione che il polo coincide con l'origine, il momento delle forze esterne è:

$$\begin{aligned} \vec{\tau}_E^O &= \sum_{i=1}^N (\vec{R}_i - \vec{R}_O) \times (F_{E,\lambda}^i \cdot \vec{\lambda} + F_{E,\mu}^i \cdot \vec{\mu} + F_{E,z}^i \cdot \vec{k}) = \\ &= \sum_{i=1}^N \vec{R}_i \times (F_{E,\lambda}^i \cdot \vec{\lambda} + F_{E,\mu}^i \cdot \vec{\mu} + F_{E,z}^i \cdot \vec{k}) = \\ &= \sum_{i=1}^N (r_i \cdot \vec{\lambda}(\vartheta_i) + z_i \cdot \vec{k}) \times (F_{E,\lambda}^i \cdot \vec{\lambda} + F_{E,\mu}^i \cdot \vec{\mu} + F_{E,z}^i \cdot \vec{k}) = \\ &= \sum_{i=1}^N (r_i \cdot F_{E,\mu}^i \cdot \vec{k} - r_i \cdot F_{E,z}^i \cdot \vec{\mu} + z_i \cdot F_{E,\lambda}^i \cdot \vec{\mu} - z_i \cdot F_{E,\mu}^i \cdot \vec{\lambda}) \end{aligned} \quad (3.6)$$

Dalla relazione (3.6) possiamo osservare che, in caso di rotazione intorno ad un asse fisso, con polo coincidente con l'origine:

a) solo le componenti delle forze esterne perpendicolari alla distanza dell'origine (polo) dal punto, che subisce l'effetto di tali forze, contribuiscono alla componente  $z$  del momento delle forze.

b) le forze parallele a  $z$  non contribuiscono alla componente  $z$  del momento delle forze esterne.

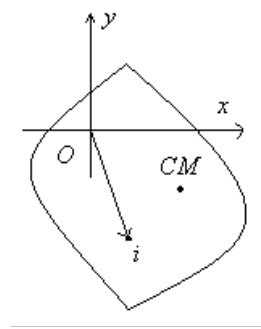
### 3.3 Energia cinetica nella rotazione di un corpo rigido intorno ad un asse fisso

Ricordando la definizione della velocità  $\vec{v}_i = \vec{r}_i \cdot \omega \cdot \vec{\mu}(\vartheta_i)$  di un punto  $i$  nella rotazione attorno ad un asse fisso (proprietà 5) possiamo scrivere l'energia cinetica totale  $E_K^T$  per un corpo rigido avente un asse fisso  $z$ :

$$E_K^T = \sum_{i=1}^N \frac{1}{2} m_i \vec{v}_i^2 = \frac{1}{2} \sum_{i=1}^N m_i (\vec{r}_i \cdot \omega \cdot \vec{\mu}(\vartheta_i))^2 = \frac{1}{2} \sum_{i=1}^N m_i r_i^2 \cdot \omega^2 = \frac{1}{2} \omega^2 \sum_{i=1}^N m_i r_i^2 = \frac{1}{2} I_z \omega^2 \quad (3.7)$$

### 3.4 Caso 1: corpo rigido con asse orizzontale fisso

Se l'asse fisso  $z$  di un corpo rigido è orizzontale, tra le altre forze perpendicolari a  $z$ , esiste anche la gravità applicata ad ogni punto della massa  $m_i$  del corpo rigido. Scegliamo l'asse  $x$  come asse orizzontale e l'asse  $y$  verticale, positivo verso l'alto, come mostrato in figura. Inoltre, scegliamo l'origine degli assi come polo per il momento della forza di gravità: in questo modo abbiamo  $x_O = y_O = z_O = 0$ . La forza di gravità su ogni punto è  $-m_i g \vec{j}$  e la **componente  $z$  del momento  $\tau_z^g$** :



$$\begin{aligned} \tau_z^g &= (\tau^g)_z = \sum_{i=1}^N ((\vec{R}_i - \vec{R}_O) \times (-m_i \cdot g \cdot \vec{j}))_z = \sum_{i=1}^N (-\vec{R}_i \times m_i \cdot g \cdot \vec{j})_z = \\ &= \sum_{i=1}^N (-(x_i \vec{i} + y_i \vec{j} + z_i \vec{k}) \times m_i \cdot g \cdot \vec{j})_z = \sum_{i=1}^N -((x_i \vec{i} + z_i \vec{k}) \times m_i \cdot g \cdot \vec{j})_z = \\ &= \sum_{i=1}^N -x_i \vec{i} \times m_i \cdot g \cdot \vec{j} = \sum_{i=1}^N (-x_i m_i \cdot g \cdot \vec{k}) = (-\sum_{i=1}^N x_i m_i) \cdot g \cdot \vec{k} = -M \cdot g \cdot x_{CM} \vec{k} \end{aligned} \quad (3.8)$$

In aggiunta, **l'energia potenziale gravitazionale** di un corpo rigido con asse orizzontale fisso ha proprietà simili.

L'energia potenziale della forza di gravità su ogni punto è  $m_i g \cdot y_i$  e l'energia potenziale totale:

$$U = \sum_{i=1}^N (m_i \cdot g \cdot y_i) = g \cdot \sum_{i=1}^N (m_i \cdot y_i) = M g \cdot y_{CM} \quad (3.9)$$

**Conclusioni:** Nel caso di un corpo rigido ruotante attorno ad un asse fisso orizzontale, il contributo della gravità al momento delle forze intorno all'asse fisso e all'energia potenziale può essere calcolato come per un singolo punto fisico che si trova nel CM e che ha massa pari alla massa totale della corpo rigido.



### 3.5 Caso particolare 2: pendolo composto

Un pendolo composto è un corpo rigido di massa  $M$ , avente un asse fisso orizzontale (asse  $z$ ) e un centro di massa (CM) a distanza  $l \neq 0$  da questo asse. In generale la viscosità dell'aria e l'attrito dinamico intorno all'asse sono trascurabili e le uniche forze esterne sono la gravità e la normale applicata dall'asse fisso orizzontale sul corpo. Scegliendo l'asse  $x$  orizzontale e l'asse  $y$  verticale rivolto verso l'alto, come per il caso dell'eq. (3.8), il polo  $O$  appartenente all'asse fisso  $z$  e definendo  $\vartheta$  come angolo formato dal segmento  $O$ -CM rispetto alla verticale che passa attraverso  $O$ , come nel pendolo standard, abbiamo:  $x_{CM} = l \cdot \sin \vartheta$  e  $y_{CM} = l \cdot \cos \vartheta$ .

Questo sistema è un corpo rigido che ruota intorno ad un asse fisso orizzontale sotto la forza gravitazionale e possiamo utilizzare i risultati dei paragrafi precedenti. Chiamando  $I_z$  il momento di inerzia del corpo rispetto all'asse  $z$ , possiamo scrivere l'eq. (3.4) tenendo conto dell'equivalente (3.8)

$$I_z \cdot \ddot{\vartheta} = \tau_{z,E}^O = -M \cdot g \cdot x_{CM} = -M \cdot g \cdot l \cdot \sin \vartheta \quad (3.9)$$

Possiamo riscrivere la (3.9) come:

$$I_z \cdot \ddot{\vartheta} + M \cdot g \cdot l \cdot \sin \vartheta = 0 \xrightarrow{\sin \vartheta \approx \vartheta} I_z \cdot \ddot{\vartheta} + M \cdot g \cdot l \cdot \vartheta = 0 \quad (3.10)$$

L'eq. (3.10) si riduce a quella del pendolo per piccole oscillazioni. La soluzione viene ottenuta dopo adeguata modifica dei parametri:

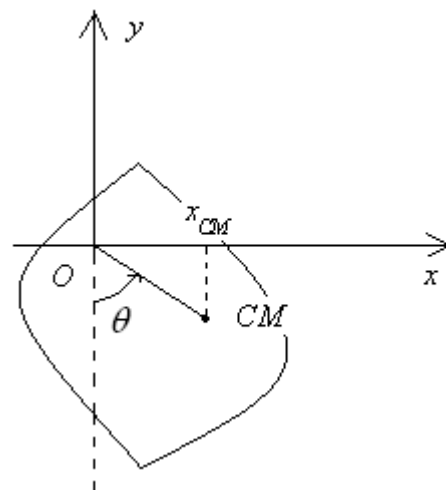
$$\vartheta(t) = A \cdot \sin(\omega \cdot t + \varphi),$$

con:

$$\omega^2 = \frac{Mgl}{I_z} \Rightarrow T = 2\pi \sqrt{\frac{I_z}{Mgl}} = 2\pi \sqrt{\frac{I_{CM} + M \cdot l^2}{Mgl}}$$

Note:

- il periodo di un pendolo composto dipende dal momento dell'inerzia
- se l'asse fisso passa attraverso un punto diverso da  $O$ , ma alla stessa distanza dal CM, il periodo è uguale
- anche i punti  $O'$  a distanza  $l' = \frac{I_{CM}}{M \cdot l}$  hanno lo stesso periodo.



### 4. Teorema di Huygens-Steiner

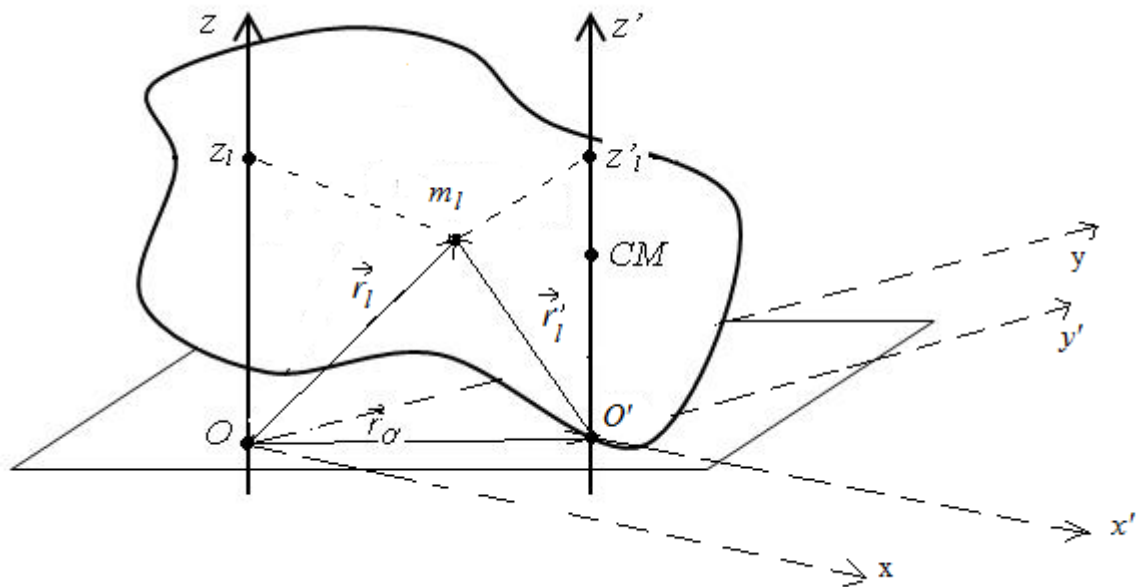
Per un corpo ci sono infiniti momenti di inerzia, a seconda della scelta degli assi. Tuttavia c'è una relazione importante tra tutti i momenti relativi agli assi paralleli, che si chiama "teorema di Huygens-Steiner", il cui enunciato è il seguente:

"Il momento di inerzia  $I_z$  di un corpo rigido rispetto all'asse  $z$  è uguale al momento di inerzia  $I_{z'}$  rispetto all'asse parallelo che passa attraverso il CM sommato alla massa totale  $M$  del corpo moltiplicata per la distanza  $d$  al quadrato tra i 2 assi ":

$$I_z = M \cdot d^2 + I_{z'} \quad (4.1)$$

### Dimostrazione:

Chiamiamo  $z'$  l'asse che passa attraverso il CM del corpo e  $z$  l'altro asse riportato nella figura seguente. Scegliamo due sistemi di riferimento cartesiani con origini  $O$  e  $O'$ , assi  $(x, y, z)$  e  $(x', y', z')$  rispettivamente, con  $O'$  sulla stessa  $z$  di  $O$ .



Definendo  $d_l$  la distanza di ogni massa puntiforme  $m_l$  dall'asse  $z$ , il momento di inerzia  $I_z$  rispetto all'asse  $z$  si scrive come:

$$I_z = \sum_{l=1}^N m_l \cdot d_l^2 = \sum_{l=1}^N m_l \cdot (x_l^2 + y_l^2) \quad (4.2)$$

Se consideriamo la relazione tra i vettori posizione nei due sistemi di riferimento abbiamo:

$$\vec{r} = \vec{r'} + \vec{r_{O'}} \Rightarrow x_l = x'_l + x_{O'} \text{ e } y_l = y'_l + y_{O'} \quad (4.3)$$

l'eq. (4.2) diventa:

$$\begin{aligned}
I_z &= \sum_{l=1}^N m_l \cdot (x_l^2 + y_l^2) = \sum_{l=1}^N m_l \cdot (x'_l + x_{O'})^2 + (y'_l + y_{O'})^2 = \\
&= \sum_{l=1}^N m_l \cdot (x'^2_l + x_{O'}^2 + y'^2_l + y_{O'}^2 + 2x_{O'}x'_l + 2y_{O'}y'_l) = \\
&= \sum_{l=1}^N m_l \cdot (x'^2_l + y'^2_l) + \sum_{l=1}^N m_l \cdot (x_{O'}^2 + y_{O'}^2) + \sum_{l=1}^N m_l \cdot (2x_{O'}x'_l) + \sum_{l=1}^N m_l \cdot (2y_{O'}y'_l)
\end{aligned} \tag{4.4}$$

Valutiamo ora ognuno dei 4 termini dell'eq. (4.4)

$$\begin{aligned}
\sum_{l=1}^N m_l \cdot (x'^2_l + y'^2_l) &= I_{z'} \\
\sum_{l=1}^N m_l \cdot (x_{O'}^2 + y_{O'}^2) &= \left( \sum_{l=1}^N m_l \right) \cdot d^2 = M \cdot d^2 \\
\sum_{l=1}^N m_l \cdot (2x_{O'}x'_l) &= 2x_{O'} \sum_{l=1}^N m_l \cdot x'_l = 2x_{O'} M \cdot x'_{CM} = 0 \\
\sum_{l=1}^N m_l \cdot (2y_{O'}y'_l) &= 2y_{O'} \sum_{l=1}^N m_l \cdot y'_l = 2y_{O'} M \cdot y'_{CM} = 0
\end{aligned} \tag{4.5}$$

1) la prima equazione deriva dalla definizione di momento di inerzia nel sistema di riferimento  $O'$

2) Nella seconda equazione  $d$  indica la distanza tra  $z$  e  $z'$ , che è data dalla distanza delle origini  $OO'$

3) Nella terza e quarta equazione, dopo che le coordinate di  $O'$  sono state spostate dalla somma perché non dipendono dall'indice  $l$ , la somma rimanente è uguale alla definizione delle coordinate  $x'$  e  $y'$  del CM (moltiplicato per la massa totale) nel sistema di riferimento  $O'$ . In questo sistema di riferimento le coordinate  $x'$  e  $y'$  del CM sono le stesse dell'origine  $O'$ , cioè sono nulle.

Quindi la (4.4) diventa:

$$I_z = M \cdot d^2 + I_{z'} \tag{4.6}$$

L'eq. (4.6) dimostra il teorema di Huygens-Steiner:

il momento di inerzia di un corpo rigido rispetto ad un asse  $z$  è uguale al momento di inerzia rispetto ad un asse parallelo  $z'$ , passante per il centro di massa sommato al prodotto della massa per la distanza al quadrato tra i due assi.

## 5. Statica del corpo rigido

Quando tutti i punti di un corpo rigido sono in quiete, si dice che il corpo si trova in una "**condizione statica**" o anche in "**equilibrio stabile**".

La condizione statica è raggiunta sotto gli effetti di forze esterne, che in generale non sono tutte nulle.

Tuttavia queste forze esterne devono obbedire a due condizioni, che provengono dalle proprietà del corpo rigido e dalla II equazione cardinale.

**Condizione n. 1: se un corpo rigido è in quiete, la forza esterna totale è nulla.**

Dimostrazione: se tutti i punti del corpo rigido sono in quiete, le loro velocità sono sempre nulle, quindi:

$$\vec{v}_{CM} = \frac{\sum_i^N m_i \vec{v}_i}{\sum_i^N m_i} = 0 \quad (5.1)$$

Ne segue che la quantità di moto totale (che eguale alla quantità di moto del CM) è una costante (=0). Dalla prima equazione cardinale di ha:

$$\vec{F}^E = \dot{\vec{P}}_T = \dot{\vec{P}}_{CM} = 0 \Rightarrow \vec{F}^E = 0 \quad (5.2)$$

**Condizione n. 2: Se un corpo rigido è in quiete, il momento totale delle forze esterne rispetto al polo è nullo.**

Dimostrazione:

Se tutti i punti del corpo rigido sono in quiete, le loro velocità sono nulle, quindi il momento angolare rispetto ad un polo O è una costante (= 0). Dalla II equazione cardinale, tenendo conto che la quantità di moto totale è nulla, come detto nella precedente dimostrazione, abbiamo:

$$\vec{\tau}_O^E = \frac{d\vec{L}_O^T}{dt} + \dot{\vec{r}}_O \times \vec{P}_T = \frac{d\vec{L}_O^T}{dt} = 0 \Rightarrow \vec{\tau}_O^E = 0 \quad (5.3)$$

Le condizioni (5.2) e (5.3) sono necessarie per la statica del corpo rigido. Ora dimostriamo che sono anche sufficienti se a un certo istante  $t_0$  tutti i punti sono in quiete.

Dimostrazione:

Se al tempo  $t_0$  tutti i punti sono in quiete e  $\vec{F}^E = \vec{\tau}_O^E = 0$ , il CM non è accelerato e quindi rimarrà con velocità nulla, cioè in quiete. Se scegliamo un polo O (a riposo), il momento angolare angolare  $\vec{L}_O^T$  rispetto a quel polo è nullo a  $t_0$  e rimane nullo visto che il momento totale esterno è  $\vec{\tau}_O^E = 0$ .

Si potrebbe obiettare: ma in questo caso dobbiamo valutare il momento angolare e il momento rispetto ad un grande numero (infinito) di poli, per scartare tutte le eventuali simmetrie.

In realtà, questo non è necessario perché

$$\begin{aligned}
\vec{L}_O^T &= \sum_i^N (\vec{r}_i - \vec{r}_O) \times m_i \cdot \vec{v}_i = \sum_i^N (\vec{r}_i - \vec{r}_{O'} + \vec{r}_{O'} - \vec{r}_O) \times m_i \cdot \vec{v}_i = \\
&= \sum_i^N (\vec{r}_i - \vec{r}_{O'}) \times m_i \cdot \vec{v}_i + \sum_i^N (\vec{r}_{O'} - \vec{r}_O) \times m_i \cdot \vec{v}_i = \vec{L}_{O'}^T + (\vec{r}_{O'} - \vec{r}_O) \times \sum_i^N m_i \cdot \vec{v}_i = \quad (5.4) \\
&= \vec{L}_{O'}^T + (\vec{r}_{O'} - \vec{r}_O) \times M \cdot \vec{v}_{CM} = \vec{L}_{O'}^T + (\vec{r}_{O'} - \vec{r}_O) \times \vec{P}_{CM}
\end{aligned}$$

Se il momento angolare è nullo rispetto a un polo, allora è nullo rispetto a tutti i poli e tutte le simmetrie possono essere escluse: l'unica possibilità è che tutte le velocità siano nulle.

## 6. Moto di un corpo rigido attorno ad un asse che trasla

Nel caso generale un corpo rigido ruota attorno ad un asse, che si muove, e la descrizione di questo moto non è semplice in molti casi. Noi ci occuperemo dello studio di un caso in cui le leggi che descrivono questo moto sono molto semplici e sono simili al caso della rotazione attorno ad un asse fisso.

Questo caso si presenta quando **un corpo rigido ruota attorno ad un asse, che si muove nello spazio mantenendo sempre la stessa direzione**, vale a dire rimane parallelo a se stesso.

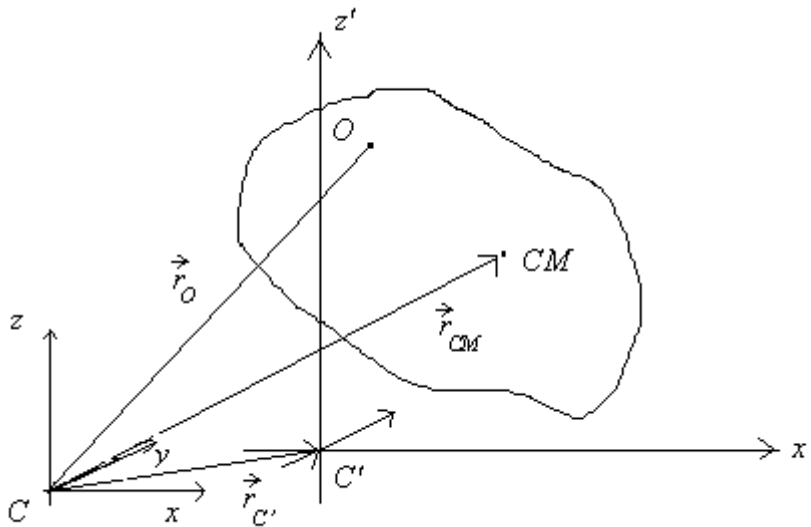


Fig. 6.1

Prima di passare allo studio dettagliato del moto, dobbiamo ricordare che l'asse di rotazione non può essere scelto come un sistema di riferimento inerziale, perchè l'origine sull'asse è in genere accelerata. Ne segue, che se vogliamo applicare le equazioni cardinali, dobbiamo scrivere i momenti angolari in un diverso sistema di riferimento inerziale.

Possiamo scegliere:

- a) un sistema di riferimento inerziale che ha l'asse  $z$  parallelo all'asse di rotazione del corpo rigido e origine in  $C$ ;

- b) un sistema di riferimento in moto con asse  $z'$  parallelo  $z$  e origine in  $C'$ ; gli assi  $x'$  e  $y'$  sono scelti paralleli a  $x$  e  $y$  rispettivamente e privi di moto di rotazione
- c) un polo  $O$  non coincidente con  $C'$ .

Ricordiamo che nel sistema di riferimento in moto il corpo viene visto esattamente come nel caso del corpo rigido che ruota attorno ad un asse fisso: l'unica differenza è che la II equazione cardinale deve essere scritta nel sistema di riferimento inerziale. Richiamiamo per chiarezza le quantità definite e che ci interessano nella descrizione di questo moto:

$\vec{r}_{C'}$  = vettore posizione di  $C'$  misurato nel sistema di riferimento con origine in  $C$   
 $\vec{r}_O$  = vettore posizione del polo  $O$  misurato nel sistema di riferimento con origine in  $C$   
 $\vec{r}'_O$  = vettore posizione del polo  $O$  misurato nel sistema di riferimento con origine in  $C'$   
 $\vec{r}_{CM}$  = vettore posizione del CM misurato nel sistema di riferimento con origine in  $C$   
 $\vec{r}'_{CM}$  = vettore posizione del CM misurato nel sistema di riferimento con origine in  $C'$   
 $\vec{r}_i$  = vettore posizione del punto  $i$  misurato nel sistema di riferimento con origine in  $C$   
 $\vec{r}'_i$  = vettore posizione del punto  $i$  misurato nel sistema di riferimento con origine in  $C'$

$$\begin{aligned}
 \vec{r}_i &= \vec{r}'_i + \vec{r}_{C'} \\
 \vec{r}_{CM} &= \vec{r}'_{CM} + \vec{r}_{C'} \\
 \vec{r}_O &= \vec{r}'_O + \vec{r}_{C'} \\
 \vec{v}_{CM} &= \vec{v}'_{CM} + \vec{v}_{C'} \\
 \vec{v}_O &= \vec{v}'_O + \vec{v}_{C'}
 \end{aligned}
 \tag{6.1}$$

Ora possiamo scrivere la relazione tra il momento angolare, rispetto al polo  $O$ , in un sistema di riferimento inerziale ( $C, x, y, z$ ) e in un sistema di riferimento in moto (non di moto rotatorio) ( $C', x', y', z'$ ), con assi paralleli:

$$\begin{aligned}
 \vec{L}_O &= \sum_{i=1}^N (\vec{r}_i - \vec{r}_O) \times m_i \vec{v}_i = \sum_{i=1}^N ((\vec{r}'_i + \vec{r}_{C'}) - (\vec{r}'_O + \vec{r}_{C'})) \times m_i (\vec{v}_{C'} + \vec{v}'_i) = \\
 &= \sum_{i=1}^N ((\vec{r}'_i - \vec{r}'_O) \times m_i (\vec{v}_{C'} + \vec{v}'_i)) = \sum_{i=1}^N ((\vec{r}'_i - \vec{r}'_O) \times m_i \vec{v}'_i) + \sum_{i=1}^N ((\vec{r}'_i - \vec{r}'_O) \times m_i \vec{v}_{C'}) = \\
 &= \vec{L}'_O + \sum_{i=1}^N (\vec{r}'_i - \vec{r}'_O) \times m_i \vec{v}_{C'} = \vec{L}'_O + \sum_{i=1}^N \vec{r}'_i \times m_i \vec{v}_{C'} - \sum_{i=1}^N \vec{r}'_O \times m_i \vec{v}_{C'} = \\
 &= \vec{L}'_O + \left( \sum_{i=1}^N m_i \vec{r}'_i \right) \times \vec{v}_{C'} - \left( \sum_{i=1}^N m_i \right) \cdot \vec{r}'_O \times \vec{v}_{C'} = \vec{L}'_O + M \cdot \vec{r}'_{CM} \times \vec{v}_{C'} - M \cdot \vec{r}'_O \times \vec{v}_{C'} = \\
 &= \vec{L}'_O + M \cdot (\vec{r}'_{CM} - \vec{r}'_O) \times \vec{v}_{C'}
 \end{aligned}
 \tag{6.2}$$

La derivata della (6.2) rispetto al tempo:

$$\dot{\vec{L}}_O = \dot{\vec{L}}'_O + M \cdot (\vec{v}'_{CM} - \vec{v}'_O) \times \vec{v}_{C'} + M \cdot (\vec{r}'_{CM} - \vec{r}'_O) \times \vec{a}_{C'} \quad (6.3)$$

Ricordando che i teoremi di base della dinamica (vale a dire le 2 equazioni cardinali, il teorema del lavoro e i vari principi di conservazione) sono validi nel sistema di riferimento inerziale possiamo scrivere la **II equazione cardinale per rotazione attorno ad un asse che trasla** nel sistema di riferimento inerziale come:

$$\begin{aligned} \vec{\tau}_O^{(E)} &= \dot{\vec{L}}_O + \vec{v}_O \times M \cdot \vec{v}_{CM} = \\ &= \dot{\vec{L}}'_O + M \cdot (\vec{v}'_{CM} - \vec{v}'_O) \times \vec{v}_{C'} + M \cdot (\vec{r}'_{CM} - \vec{r}'_O) \times \vec{a}_{C'} + \vec{v}_O \times M \cdot \vec{v}_{CM} \end{aligned} \quad (6.4)$$

L'eq. (6.4) contiene 4 termini e non è semplice da studiare ma si semplifica molto in 2 casi fisici interessanti. Questi casi sono i seguenti:

- 1) **il polo  $O$  è scelto coincidente con il  $CM$**
- 2) **l'origine  $C'$  è in quiete** (e il polo  $O$  coincide con  $C'$ )

Nel caso 1):  $\vec{r}'_O = \vec{r}'_{CM}$ ,  $\vec{v}'_O = \vec{v}'_{CM}$  e  $\vec{v}'_O \parallel \vec{v}_{C'}$ , quindi:  $\vec{\tau}_O^{(E)} = \dot{\vec{L}}'_O$  (6.5)

Nel caso 2)  $\vec{r}'_O = \vec{r}'_{C'} = 0 \Rightarrow \vec{v}'_O = \vec{v}_{C'} = 0 \Rightarrow \vec{a}_{C'} = 0$ , quindi:  $\vec{\tau}_O^{(E)} = \dot{\vec{L}}'_O$  (6.6)

Ricordiamo che  $\vec{L}'_O$  è il momento angolare in un sistema di riferimento dove l'asse di rotazione è fisso: quindi in questo sistema di riferimento possiamo scrivere la componente  $z$  come:

$$L'_{OZ} = I_{z'} \cdot \omega' \cdot \vec{k} \quad (6.7)$$

$\omega'$  è la velocità angolare attorno  $z'$ , misurata nel sistema di riferimento in moto. Dobbiamo ricordare ancora una volta che il moto del  $CM$  è determinato dalla I equazione cardinale.

In conclusione, in ognuno dei due casi discussi sopra, la rotazione di un corpo rigido attorno ad un asse con direzione fissata è determinata solo da 4 delle 6 equazioni scalari:

$$\begin{aligned} M \cdot \vec{a}_{CM} &= \vec{F}_T^{(E)} \\ I_{z'} \cdot \dot{\omega}' \cdot \vec{k} &= \vec{\tau}_{OZ} \end{aligned} \quad (6.8)$$

## Energia Cinetica

Anche l'energia cinetica totale  $E_K^T$  di un corpo rigido che ruota attorno ad un asse fisso  $z'$  deve essere calcolata nel sistema di riferimento inerziale, per poter applicare le equazioni cardinali. Come nel caso del momento angolare, la velocità del punto  $i$ -esimo del sistema diventa difficile da calcolare, mentre rispetto al sistema di riferimento in moto  $(C', x', y', z')$  risulta semplice da determinare.

Troviamo nel seguito la relazione tra l'energia cinetica totale calcolata in  $(C, x, y, z)$  e in  $(C', x', y', z')$ :

$$\begin{aligned}
E_K^T &= \sum_{i=1}^N \frac{1}{2} m_i \vec{v}_i^2 = \frac{1}{2} \sum_{i=1}^N m_i (\vec{v}_{C'} + \vec{v}_i')^2 = \frac{1}{2} \sum_{i=1}^N m_i (v_{C'}^2 + 2 \cdot \vec{v}_{C'} \cdot \vec{v}_i' + v_i'^2) = \\
&= \frac{1}{2} \left( \sum_{i=1}^N m_i \right) v_{C'}^2 + \sum_{i=1}^N m_i (\vec{v}_{C'} \cdot \vec{v}_i') + \frac{1}{2} \sum_{i=1}^N m_i v_i'^2 = \\
&= \frac{1}{2} M v_{C'}^2 + M (\vec{v}_{C'} \cdot \vec{v}_{CM}') + \frac{1}{2} I_z \omega^2
\end{aligned} \tag{6.9}$$

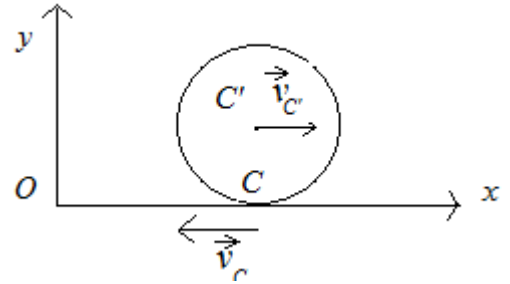
Nel caso 1) discusso prima, se scegliamo anche l'origine  $C'$  del sistema di riferimento in moto coincidente con  $CM$ , abbiamo:

$$E_K^T = \frac{1}{2} M v_{CM}^2 + \frac{1}{2} I_z \omega^2 \quad \text{visto che } \vec{v}_{CM}' = 0 \tag{6.10}$$

Nel caso 2) avremo  $\vec{v}_{C'} = 0$  e quindi:  $E_K^T = \frac{1}{2} I_z \omega^2$  . (6.11)

### Velocità del punto di contatto e del centro in rotazione delle ruote

Quando una ruota di raggio  $R$  (o ogni altro solido di rotazione) ruota su una superficie piana, si stabilisce una relazione tra la velocità del centro della ruota e il punto di contatto. Per trovare questa relazione consideriamo un sistema di riferimento  $(O, x, y)$  in quiete e un sistema di riferimento  $(C', x', y')$  con origine  $C'$  nel centro della ruota e  $x'$  parallelo a  $x$ ,  $y'$  parallelo a  $y$ . Chiamiamo poi  $C$  il punto di contatto della ruota con la superficie in un determinato istante  $\vec{v}_{C'}, \vec{v}_C, \vec{v}_{C'}' = 0, \vec{v}_C'$  sono le velocità in entrambe i sistemi di riferimento. Nel sistema  $(C', x', y')$  i moduli delle velocità di tutti i punti sulla circonferenza sono dati da  $|\vec{v}'| = R \cdot \omega$ , dove  $\omega$  è la velocità angolare di rotazione. Quindi la velocità del punto di contatto in entrambe i sistemi di riferimento è data da:



$$\vec{v}_C = \vec{v}_{C'} + \vec{v}_C' = v_{C'} \vec{i} - R \cdot \omega \cdot \vec{i}' = v_{C'} \vec{i} - R \cdot \omega \cdot \vec{i} = (v_{C'} - R \cdot \omega) \cdot \vec{i} \tag{6.12}$$

Dall'eq. (6.12) vediamo che quando il modulo della velocità del centro è uguale a  $R \cdot \omega$ , il punto di contatto si trova a riposo nel sistema di riferimento  $(O, x, y)$ : questo tipo di rotazione è chiamata "moto di puro rotolamento" e il punto di contatto ha un attrito di tipo statico con la superficie. Se invece  $v_{C'} \neq R \cdot \omega$  il punto di contatto ha una velocità non nulla rispetto alla superficie e si ha un attrito di tipo dinamico.